



بررسی آزمایشگاهی خواص حرارتی و مکانیکی تخته چوب فراوری شده با پوست سخت بازیافتی میوه گردو و پسته

سید شرف الدین حسینی^{۱*}، علی شهرجردی^۲

۱- دانشکده فنی و مهندسی، دانشگاه پیام نور، تهران، ایران

۲- دانشکده فنی و مهندسی، دانشگاه ملایر، ملایر، ایران

تاریخچه داوری:

۱۴۰۰/۰۸/۰۷

بازنگری: ۱۴۰۱/۰۳/۱۸

پذیرش: ۱۴۰۱/۰۴/۱۲

ارائه آنلاین: ۱۴۰۱/۰۵/۲۲

کلمات کلیدی:

چوب گردو

چوب پسته

کامپوزیت چوبی

چوب بازیافتی

کامپوزیت بازیافتی

خلاصه: یکی از بحران‌های امروز قطع درختان برای تولید مصنوعات چوبی است که اثر مخربی بر محیط زیست و آب و هواز زمین داشته و تلاش برای یافتن محصول جایگزین ضروری و مهم به نظر می‌رسد. کاهش منابع چوبی طبیعی، در کنار افزایش میزان نیاز به مصنوعات چوبی، تلاش برای تولید کامپوزیت‌های بازیافتی جایگزین چوب درختان را ضروری تر نموده است. با توجه به اینکه ساختار پوست سخت میوه گردو و پسته در حالت عادی فقط قابلیت خرد و پودر شدن دارند، لذا می‌توان از آنها در تهیه نئوپان استفاده نمود. در این تحقیق آزمایشگاهی با استفاده از دورریز چوب سخت میوه گردو و پسته نمونه‌های کامپوزیتی مرکب از خانواده نئوپان ساخته شد و به بررسی خواص فیزیکی آنها پرداخته شده است. نتایج تحقیق نشان داد که کامپوزیت‌های ساخته شده نسبت به نئوپان معمولی چگالی بیشتری داشته و با وجود هدایت حرارتی کمی بالاتر، مقاومت بهتری در برابر آتش‌گیری دارند و زمان آتش‌گیری برای نمونه پوست سخت میوه گردو و همچنین گردو/پسته به ترتیب ۶۹٪ و ۸۴٪ نسبت به نئوپان معمولی بیشتر بوده است. کامپوزیت‌های ساخته شده بخارطه ساختار تکه‌ای سطح برش ناصاف‌تری داشته و در برابر خم شفتار جسم ترد و شکننده را از خود نشان دارند. رفتار الکتریکی کامپوزیت‌های ساخته شده تفاوت قابل توجهی با نئوپان معمولی نداشته است.

گزارش شده است. به طوری که به ازای هر ۱۲ کیلوگرم پوست پسته می‌توان یک کیلوگرم کربن خالص استحصال نمود [۹]. ایران رتبه اول تولید پسته و رتبه چهارم تولید گردو در جهان را دارد [۱۰]. این امر خود نشان می‌دهد منبع غنی از مواد دورریز قابل بازیافت برای کاربردهای چوبی وجود دارد که عدم استفاده صحیح از این مواد دورریز مشکلات عدیده زیست محیطی را به همراه خواهد داشت. از طرفی دیگر طبق قوانین مبحث ۱۷ سازمان نظام مهندسی، قرارگیری تجهیزات گازسوز مانند اجاق گاز و فر صنعتی در کنار دیوارهای چوبی رایج که جهت زیباسازی نمای داخلی اماكن تجاری و مسکونی بکار می‌روند، بعلت امکان آتش‌گیری دیواره دارای محدودیت شدید است [۱۱]. همچنین سازه‌های چوبی متداول همچون نئوپان و "تخته فیبر چگالی متوسط" که به وفور در ساخت کابینت‌ها، پارتيشن‌ها و دیوارهای جداگانه داخل ساختمان بکار می‌روند، شدیداً نسبت به جذب رطوبت و آتش‌گیر بودن ضعیف هستند [۱۲] و این امر خود موجب بروز مشکلات و هزینه‌های اضافی خواهد شد. نئوپان‌ها از خرد چوب و تخته فیبر چگالی

۱- مقدمه

یکی از بحران‌های امروز قطع درختان برای تولید مصنوعات چوبی است که اثر مخربی بر محیط زیست داشته و تلاش برای یافتن محصول جایگزین ضروری به نظر می‌رسد. در کشور ایران ۱۳۰ هزار هکتار باغ گردو وجود دارد که سالانه ۳۰۰ هزار تن میوه گردو تولید می‌شود. از این میزان حدود ۶۶ درصد یعنی ۲۰۰ هزار تن پوست سبز و پوست سخت میوه گردو است که درصد بسیار بالایی از آن دورریز می‌شود [۱]. این در حالی است که بنابر طرح‌های توجیهی اقتصادی، برای راهاندازی یک کارگاه تولیدی نئوپان خام با نرخ بازدهی ۴۰ درصد و اشتغال ۱۰ نفر، حدود ۵ هزار تن ماده اولیه نیاز است. از پوست گردو کاربردهایی همچون ضد عفونی لثه، تولید رنگ طبی بادوام، سوسپانسیون جهت رفع زردی دندان، از بین بردن علف هرز [۲]، اسکراب و لایه‌برداری پوست، از بین برنده موهای رائد، حذف کننده رنگ [۳] از جمله حذف رنگ رادیواکتیو قرمز در محلول‌های آبی [۴]، جاذب حذف سرب [۵]، فسفات [۶] و نیترات [۷] از آب، و همچنین تولید کربن فعال گرانولی [۸]





شکل ۱. مواد اولیه (الف) ترکیب خرد گردو - پسته ، (ب) نمونه آرد پوست پسته و (د) آرد پوست گردو

Fig. 1. Primary materials (a) combination of walnut and pistachio chips, (b) wood chips sample, (c) pistachio shell flour sample and (d) walnut shell flour

۲- مواد و روش‌ها

۱- روش آزمایش

این تحقیق بصورت آزمایشگاهی با ساخت سه نمونه ترکیب نئوپانی شامل (الف) نئوپان حاصل از خرد چوب‌های دوربریز درختان، (ب) نئوپان حاصل از پوست خردشده چوبی میوه گردو، (ج) نئوپان حاصل از ترکیب پوست خرد شده میوه گردو و پسته انجام شده که خواص فیزیکی نمونه‌های (ب) و (ج) با نمونه (الف) که نمونه شاهد تحقیق است مقایسه شده‌اند. از هر کدام از کامپوزیت‌ها، ۱۵ نمونه تهیه شد تا در آزمایشات مختلف، نمونه‌های استفاده نشده بکار گرفته شود. برای اندازه‌گیری چگالی، ارزش حرارتی (گرمای سوختن)، هدایت حرارتی، مقاومت الکتریکی و صافی سطح (هر کدام یک نمونه)، برای آزمایشات مقاومت در برابر آتش‌گیری، جذب رطوبت، مقاومت خمی (هر کدام سه نمونه جهت میانگین‌گیری) و یک نمونه نیز جهت احتیاط آمده شد تا در صورت نیاز مورد استفاده قرار گیرد.

۲- ساخت نمونه آزمایش

ابتدا خرد چوبی نمونه، آشغال زدایی شده و شسته می‌شوند و به مدت ۲۴ ساعت در محیط آفتابی خشک می‌گردند (مطابق شکل ۱). ابعاد قالب ساخت

متوسطها از رشته‌های چوبی استفاده می‌کنند. با توجه به اینکه ساختار پوست سخت میوه گردو و پسته در حالت عادی بگونه‌ای نیست که قابلیت رشته‌ای شدن داشته باشند و فقط خرد و پودر (اصطلاحاً چیپس) می‌شوند، لذا می‌توان از آنها در تهیه نئوپان استفاده نمود [۱۳]. در رفسنجان ایران کارخانه‌ای بصورت محدود و تحقیقاتی روی تولید نئوپان از چیپس پوست پسته در حال تحقیق است. استفاده از مواد طبیعی بازیافتی دیگری نیز مورد پژوهش قرار گرفته است. برخی محققین نیز روی کامپوزیت‌های حاصل از لیف خرما نیز تحقیقاتی انجام دادند اما کیفیت آن نسبت به کامپوزیت‌های پوست پسته پایین‌تر است. استفاده از لیف خرما باعث اصلاح سطحی الیاف نخل خرما و بهبود چسبندگی بین سطحی لیف-ماتریس [۱۴] و بهبود مقاومت خمی شد اما تاثیری در مقاومت کششی نداشته است [۱۵]. همچنین یوسف زاده و همکاران روی مقاومت نمونه کامپوزیت حاصل از باگاس تحقیقاتی انجام دادند که در غلظت خاص موجب استحکام بیشتر کامپوزیت شد [۱۶]. در این تحقیق تلاش شده است بطور آزمایشگاهی با بازیافت چوب‌های دوربریز میوه‌ها همچون گردو و پسته، سازه‌های چوبی مرکب تولید شود و خواص فیزیکی مورد نیاز از جمله میزان رطوبت‌گیری، آتش‌گیری، هدایت حرارتی و الکتریکی، و مقاومت خمی آن با نمونه‌های متداول مقایسه گردد.



شکل ۲. (الف) دستگاه پرس ساخت نمونه (ب) قالب پرس ساخت نمونه

Fig. 2. (a) Sample making press machine (b) Sample making press mold

آزمایشات صورت گرفته در این تحقیق شامل اندازه‌گیری چگالی، ارزش حرارتی (گرمای سوختن)، آزمایش مقاومت در برابر آتش‌گیری، آزمایش جذب رطوبت، آزمایش مقاومت خمی، آزمایش هدایت حرارتی، آزمایش مقاومت الکتریکی، آزمایش صافی سطح پس از برش می‌باشد.

۳- نتایج و بحث

وزن سه نمونه آماده شده در حجم‌های ابعادی یکسان اندازه‌گیری شدند که چگالی نمونه شاهد، نمونه گردوبی، و نمونه گردوبی – پسته‌ای به ترتیب 0.37 g/cm^3 , 0.74 g/cm^3 , و 0.79 g/cm^3 کیلوگرم بر متر مکعب بدست آمد. گرچه سبکی ماده یک مزیت محسوب می‌شود اما الزاماً چگالی بالاتر نشانه منفی نیست. در کاربری‌های متداول نسبت استفاده عمودی از چوب (که نقش تحمل بار دارد)، بیشتر از حالت افقی است که اجسام فشرده‌تر تحمل بالاتری در برابر فشارهای وارد دارند [۱۹]. غالباً یکی از دلایل مقاومت بیشتر در برابر جذب رطوبت و حرارت نیز همین چگالی بالاتر است [۲۰].

۳-۱- ارزش حرارتی (گرمای سوختن)

نمونه‌های آزمایشگاهی آماده شده با استفاده از کالری‌متر مورد بررسی قرار گرفتند تا میزان ارزش حرارتی آنها با هم مقایسه گردد. گرمای سوختن یا ارزش حرارتی یا ارزش گرمایی یک سوخت، مقدار گرمایی است که از سوختن کامل یک واحد جرم از آن سوخت در دما و فشاری خاص آزاد

نمونه $1/6 \times 40 \times 40 \text{ mm}$ سانتیمتر بوده که مواد با نسبت ۸۸ درصد وزنی خرده چوب و ۱۲ درصد وزنی چسب با هم مخلوط شده و قالب‌بازی می‌شوند. ابعاد خرده پوسته از حالت آرد تا $4/5 \text{ mm}$ و ابعاد پوست گردو از حالت آرد تا $4/8 \text{ mm}$ اندازه‌گیری شده است و در این محدوده متغیر می‌باشند. چسب از نوع اوره فرمالدئید می‌باشد [۱۷]. ۱۰ درصد وزن چسب آمونیوم کلرید^۱ بعنوان هاردنر به آن اضافه می‌شود [۱۸]. قالب در دستگاه پرس مطابق شکل ۲ به مدت ۵ دقیقه و دمای 170°C درجه سانتیگراد و فشار kg/cm^2 ۲۰ قرار داده می‌شود. سپس نمونه آماده شده برای خشک شدن به مدت یک هفته در هوای آزاد و آفتابی قرار می‌گیرد (مطابق شکل ۳). نمونه نوشیان اول شامل خرده چوب معمولی است که بعنوان نمونه شاهد مورد استفاده قرار گرفته است. بخش چوبی نمونه دوم حاوی 44% درصد وزنی خرده چوب میوه گردو و 56% درصد وزنی آرد پوست چوبی میوه گردو (جهت پرکردن منفذ و استحکام بیشتر) می‌باشد. بخش چوبی نمونه سوم حاوی 52% درصد آرد و خرده پوست چوبی پسته و 48% درصد آرد و خرده پوست چوبی میوه گردو می‌باشد. اختلاط خرده پوست چوبی میوه و آرد پوسته چوبی میوه بصورت دستی صورت گرفت. لازم به ذکر است بعلت عدم وجود نمونه مشابه، اینکار ابتدا با درصدهای مختلفی انجام پذیرفت لکن این محدوده از لحاظ مقاومت شکلی نتیجه مناسبتری داشت. در اندازه‌های ترکیبی کمتر و بیشتر مشکلاتی همچون ترد شدن و شکنندگی زیاد یا کم‌اثر بودن ترکیبات کامپوزیت مشاهده شد.



شکل ۳ الف. نمونه آماده شده گردو

Fig. 3a. Prepared walnut sample



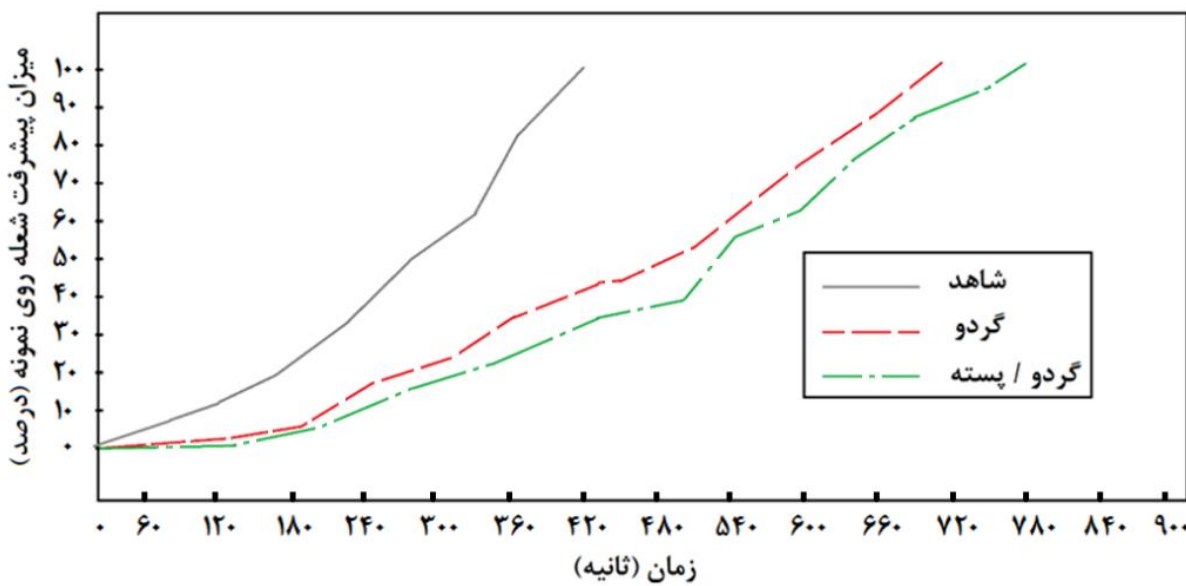
شکل ۳ ب. نمونه آماده شده پوسته - گردوبی

Fig. 3b. Prepared sample of pistachio-walnut shell



شکل ۳ ج. نمونه آماده شده نئوپان معمولی

Fig. 3c. Prepared sample of normal chipboard



شکل ۴. مقایسه میزان سرعت آتش گیری نمونه های آزمایش

Fig. 4. Comparison of the ignition speed of the test samples

تماس با شعله ای کوچک شروع به سوختن می کند. چوب ها بطور معمول در حرارت های بالاتر، خود به خود شعله ور می گردند. با بهره گیری از استاندارد ASTM – E84-[۲۱] برای ویژگی های احتراق سطحی مصالح ساختمانی در استانداردهای آمریکایی، آزمایش در دمای شعله ۳۹۵ درجه سانتیگراد در شرایط آزمایشگاهی برای سه نمونه آماده سازی شده صورت گرفت و زمان آتش گیری و سرعت سوختن چوب در نمونه گردوبی و همچنین گردو – پسته ای با استفاده از کرنومتر با نمونه نوپاپ معمولی مقایسه شد. نمونه ها با توجه به عرض شعله، در ابعاد ۲۰ میلیمتر در ۲۰ میلیمتر و بصورت عمودی تحت آزمایش قرار گرفتند. روی نمونه ها هر ۲۰ میلیمتر (۱۰٪) علامت گذاری شد تا میزان پیشرفت سوختگی نمونه مشاهده و ثبت گردد.

آزمایش تحت شعله در آزمایشگاه صورت گرفت که دمای آن ۳۹۵ درجه سانتیگراد بوده است. همانطور که در شکل ۴ مشاهده می شود، مقایسه نتایج نمونه ها نشان می دهد، اختلاف زمان آتش گیری در نمونه های گردو و گردو / پسته نسبت به نمونه شاهد قابل توجه بوده است. زمان سوختن کامل نمونه چوب گردو و چوب گردو / پسته نسبت به نمونه شاهد به ترتیب ۲۹۰ ثانیه و ۳۵۵ ثانیه بیشتر بوده است.

می گردد و واحد آن واحد انرژی بر واحد جرم می باشد. برای این آزمایش از بمب کالری متری مدل C6000 شرکت آیکا^۱ آلمان استفاده شده است. پیش از آزمایش نمونه ها در کوره خشک شده و درصد رطوبت آنها به کمتر از ۲ درصد رسید.

با آزمایش صورت گرفته نتیجه گرمای سوختن نمونه های آزمایش به ترتیب برای نمونه شاهد، نمونه پوست سخت گردوبی و نمونه پوست سخت میوه گردو – پسته برابر با ۱۸/۵ و ۱۶/۴ و ۱۷/۲ مگاژول بر کیلوگرم بوده است. که نشان می دهد استفاده از چوب میوه می تواند توان تولید حرارت و به تبع آن آتش گیری چوب را کاهش دهد.

۳-۲- آزمایش مقاومت در برابر آتش گیری

اگر گرما و مدت آتش سوزی و میزان حضور اکسیژن هوا کافی باشد، رفتار چوب بدین گونه خواهد بود که در دمای ۱۰۰ درجه سانتی گراد رطوبت خود را از دست داده و در دمای ۱۴۸ درجه ماهیتش تغییر می کند. همچنین با افزایش دما در ۱۵۰ درجه سانتیگراد گازهای قابل اشتعال از آن متصاعد می شود و حالت ذغالی در دمای ۲۳۰ درجه به خود خواهد گرفت و نهایتاً در دمای ۲۷۵ درجه نیز به سرعت تجزیه شده و در صورت

جدول ۱. تغییر ابعاد نمونه‌ها بعد از ۲ ساعت غوطه‌وری

Table 1. Changes in the dimensions of the samples after 2 hours of immersion

نمونه نوپان معمولی	تغییرات طولی٪	تغییرات عرضی٪	تغییرات ضخامت٪
۲/۲	۲/۴	۱/۶	
۱/۵	۱/۴	۰/۷	
۱/۴	۱/۴	۰/۶	نمونه نوپان گردو/پسته‌ای

جدول ۲. تغییر وزنی نمونه‌ها بعد از ۲ ساعت غوطه‌وری

Table 2. Weight change of the samples after 2 hours of immersion

نمونه نوپان معمولی	وزن نمونه خشک (gr)	وزن نمونه خیس (gr)	درصد افزایش (gr)
۱۴/۸	۱۷/۳		۱۶/۹
۲۹/۶	۳۱/۱		۵/۷
۳۱/۶	۳۲/۳		۲/۲

جدول ۳. تغییر ابعاد نمونه‌ها بعد از ۲۴ ساعت غوطه‌وری

Table 3. Changes in the dimensions of the samples after 24 hours of immersion

نمونه نوپان گردو/پسته‌ای	تغییرات طولی٪	تغییرات عرضی٪	تغییرات ضخامت٪
۶/۷	۷	۴/۶	
۲/۹	۲/۷	۱/۱	
۲/۷	۲/۴	۱/۲	نمونه نوپان معمولی

نتایج آزمایشگاهی برای میزان جذب آب در دو زمان ۲ ساعت و ۲۴ ساعت برای سه نمونه نشان داد که چوب‌های مرکب گردویی و همچنین گردو/پسته‌ای جذب آب بسیار کمتری نسبت به نوپان ساده دارند. میزان تغییرات ابعادی و وزنی بعد از ۲ ساعت غوطه‌وری طبق جدول ۱ و ۲، و بعد از ۲۴ ساعت غوطه‌وری طبق جداول ۳ و ۴ برای نمونه‌ها نشان داده شده است.

نتایج نشان می‌دهد میزان جذب رطوبت در نمونه کامپوزیت گردو/پسته کمترین مقدار را داشته و نسبت به نمونه شاهد، در برابر جذب رطوبت بسیار مقاوم‌تر است. کاهش جذب رطوبت برای نوپان گردویی نیز قابل قبول است.

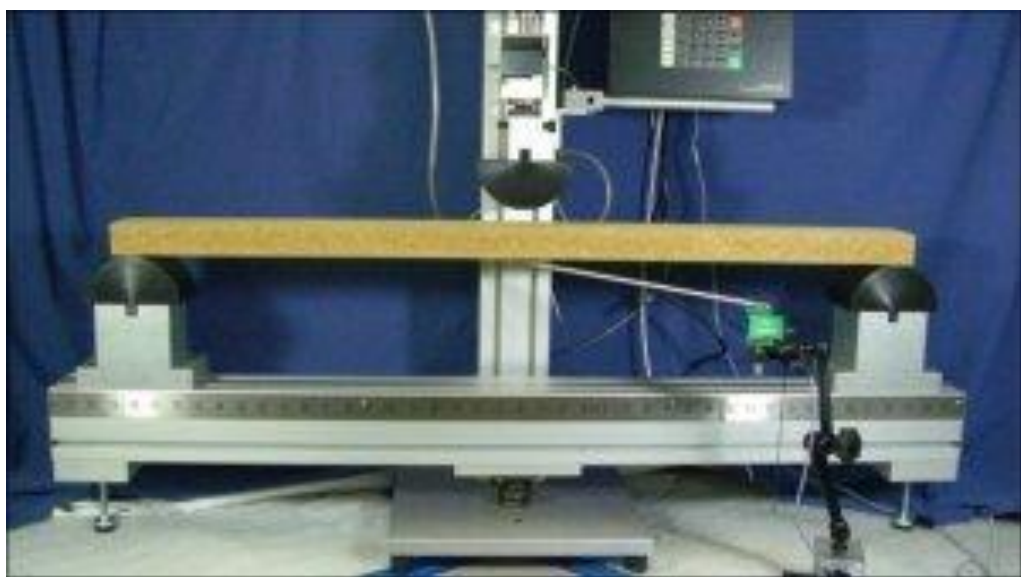
۳-۳- آزمایش جذب رطوبت

برای این آزمایش طبق استاندارد [۲۲] ASTM-D4442-16 به اندازه‌گیری میزان جذب رطوبت مستقیم چوب مربوط می‌شود، نمونه که به اندازه‌گیری میزان جذب رطوبت مستقیم چوب مربوط می‌شود، نمونه آزمایش در ظرف آب غوطه‌وری شود و در دو بازه ۲ ساعته و ۲۴ ساعته تغییرات ابعادی و وزنی آن به دقت مورد اندازه‌گیری قرار گرفته و ثبت و مقایسه می‌گردد. برای این منظور سه قطعه (نمونه شاهد، نمونه گردو، و نمونه گردو - پسته) با طول و عرض ۵ cm و ارتفاع ۱/۶ cm آماده شد و مورد آزمایش قرار گرفت و نتایج ثبت شد. برای ثبت نتایج پس از بیرون آوردن قطعه از آب، سطح آن خشک شده و اندازه‌گیری‌ها با استفاده از ترازو با دقت ۰/۱ g و کولیس انجام می‌شود.

جدول ۴. تغییر وزنی نمونه‌ها بعد از ۲۴ ساعت غوطه‌وری

Table 4. Weight change of the samples after 24 hours of immersion

نمونه نئوپان معمولی	وزن نمونه خشک (gr)	وزن نمونه خیس (gr)	درصد افزایش (gr)
نمونه نئوپان گردوبی	۱۴/۸	۱۹/۶	۳۲/۴
نمونه نئوپان گردو/پسته‌ای	۲۹/۶	۳۲/۳	۹/۱
	۳۱/۶	۳۲/۷	۳/۵



شکل ۵. دستگاه اندازه گیری مقاومت خمشی چوب

Fig. 5. The device for measuring the bending strength of wood

۱/۷ و نمونه گردو پسته در $7/5 \text{ kN}$ به یکباره دچار شکست شدند و محل

جداش بجای ریش ریش شدن حالت خرده ریز از اصل نمونه جدا شدند.

لذا مقاومت خمشی لازم در نمونه‌های گردو و همچنین گردو-پسته وجود نداشت.

۳-۵ آزمایش هدایت حرارتی

چیدمان دستگاه آزمایش مشکل از سه قطعه به ابعاد مشخص شده در شکل ۱ است. قطعه شماره ۱ جهت ایجاد گرما از یک سشوار و جهت یکنواختی و خروج جریان هوای گرم و همچنین تعديل دما از دو فن ثابت تشکیل شده است. قطعه میانی یا شماره ۲ یک قاب چوبی به ابعاد

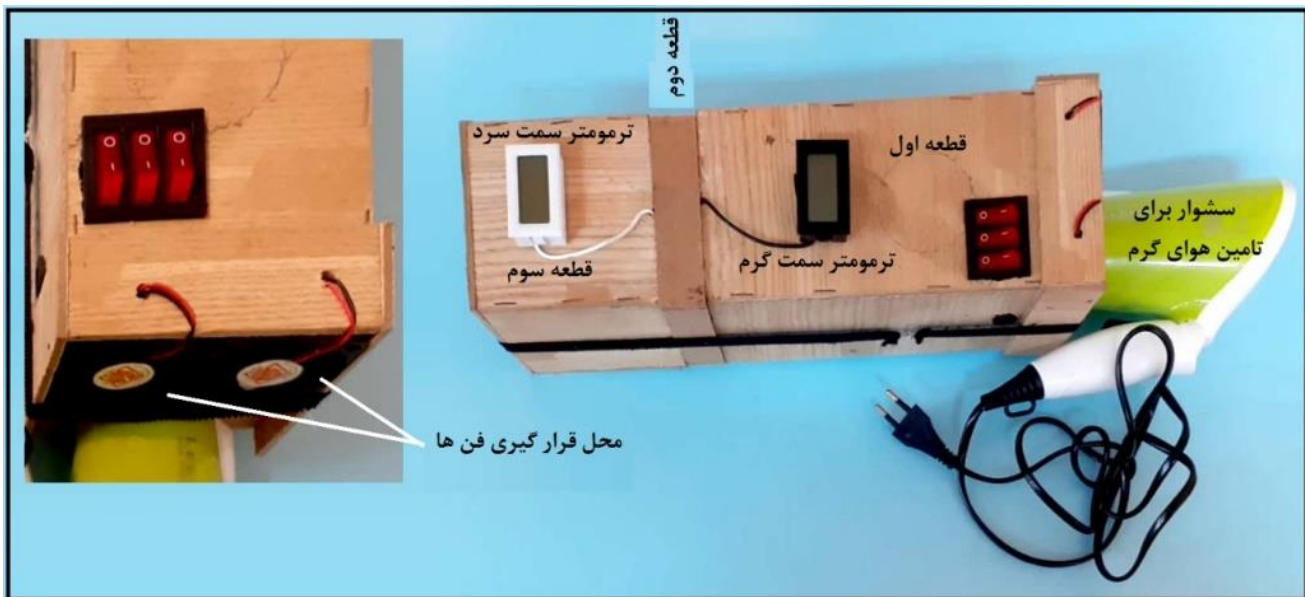
۳-۴- آزمایش مقاومت خمشی

برای این آزمایش باید دقیق کرد که چوب کاملاً سالم و قادر ترک باشد.

چوب در دستگاه آزمایش روی دو تکیه‌گاه قرار می‌گیرد و از وسط قطعه چوب و عمود بر جهت الیاف چوب مطابق شکل ۵ به آن نیرو وارد می‌شود.

میزان تحمل نمونه آزمایش مورد بررسی قرار می‌گیرد. ابعاد نمونه‌ها برای این آزمایش طبق استاندارد $7 \text{ cm} \times 30 \text{ cm} \times 11/8 \text{ cm}$ باشند.

نتایج آزمایشات نشان داد که بعلت اینکه بافت نمونه گردو و نمونه گردو-پسته قادر حالت الیافی بوده‌اند، در برای نیروی خمشی مانند جسم ترد عمل کرده و شکننده هستند. آغاز شکست در نمونه شاهد در $9/7 \text{ kN}$ آغاز شد و در $11/8 \text{ kN}$ کاملاً گسست ایجاد گردید. اما نمونه گردو در $11/8 \text{ kN}$



شکل ۶. اجزای چیدمان دستگاه آزمایش

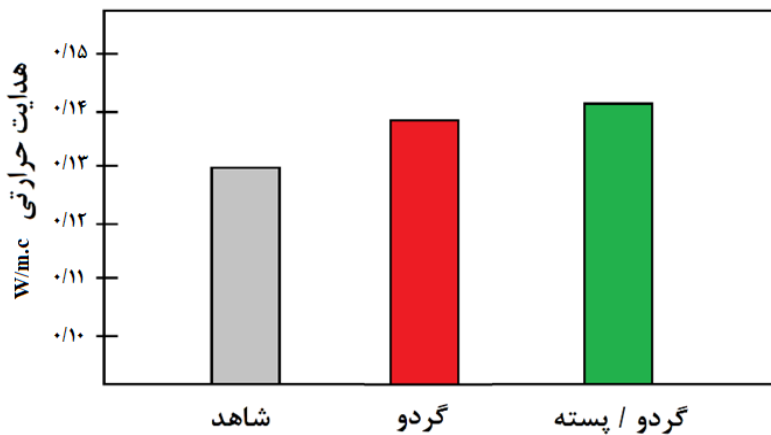
Fig. 6. Components of the test Setup

می‌دمد. هوای ورودی از سوراخ‌های تعییه شده در دو سمت قطعه ۱ خارج می‌شود. با روشن شدن هر دو فن ۱ و ۲ دبی هوای آزاد ورودی افزایش می‌یابد. پس از ثابت شدن شرایط دمای ترمومترها ثبت می‌شود تا مورد تجزیه و تحلیل قرار گیرد. این آزمایش ابتدا روی یک نمونه آلومینیوم با ضریب هدایت حرارتی $211 \text{ W/m}^{\circ}\text{C}$ انجام گرفت تا میزان گرمای عبوری در دمای 70°C درجه سانتیگراد بدست آید و برای نمونه‌هایی که ضریب هدایت آنها مجھول است مورد استفاده قرار گیرد.

در آزمایش اندازه‌گیری هدایت حرارتی دمای هوای گرم تا 70°C درجه سانتیگراد افزایش می‌یابد در این دما روند صعودی به حالت ثابت می‌رسد. پس از پایداری شرایط دمای ترمومترها در دو طرف نمونه‌ها اندازه‌گیری شد و با محاسبه هدایت حرارتی با توجه به مساحت سطح 100 cm^2 و ضخامت $1/6 \text{ cm}$ در شار حرارتی ثابت که پیشتر اندازه‌گیری شده بود، میزان ضریب هدایت حرارتی بصورت شکل ۷ بدست آمد. با توجه به نمودار، هدایت حرارتی نمونه گرد و پسته بیشترین مقدار را داشته که احتمالاً بعلت تراکم بیشتر بوده است.

است که نمونه آزمایش در این قالب قرار داده می‌شود و اطراف آن هوابندی خواهد شد. (مطابق شکل ۶). ضخامت نمونه آزمایش $16 \text{ میلی متر می‌باشد. در دو سمت این قالب دو سنسور دمایی وجود دارد. که دمای سطح سمت نمونه را نشان می‌دهد. خطای این ترمومترها $1/0^{\circ}\text{C}$ درجه سانتیگراد می‌باشد. قطعه شماره ۳ محفظه‌های چوبی که از ۵ وجه مسدود است و جهت از بین بردن اثر تغییرات دمایی محیط روی سطح نمونه مورد استفاده قرار می‌گیرد.$

برای اندازه‌گیری حرارتی ابتدا نمونه‌ها را درون قطعه شماره ۲ در محل ثابت تعیین شده قرار می‌دهیم و دور تا دور آن را از سمت قطعه شماره ۳ با چسب آکواریوم درزبندی می‌کنیم. ترمومترهای دیجیتال را پس از کالیبراسیون اولیه در محل مناسب در دو سمت سطح نمونه قرار داده و سه قطعه چیدمان دستگاه آزمایش را به هم متصل می‌کنیم. کالیبراسیون ترمومترها با استفاده از آب بین خالص و آب جوش خالص صورت گرفته است. در این مرحله سشووار که نقش دمنده / گرم کننده هو را دارد روشن شده و هوای گرم را به داخل محفظه و سطح نمونه



شکل ۷. مقایسه هدایت حرارتی نمونه‌های مورد آزمایش در دمای ۷۰ درجه سانتیگراد

Fig. 7. Comparison of the thermal conductivity of the samples tested at 70 degrees Celsius

سطح نمونه‌ها مشاهده شد که نمونه‌های گردو و گردو/پسته به علت تکه‌ای بودن ذرات فشرده شده، برش سخت‌تر و لبه‌های ناصاف‌تری دارند و جدایش در هنگام برش همراه با پراکنده شدن تکه‌ای ذرات بوده که این امر جزو معایب این نمونه‌ها محسوب می‌شود. پیشنهاد می‌شود در تحقیقات جداگانه روی پیش گرمایش مواد اولیه جهت نرم‌سازی ساختار مواد اولیه و سپس ساخت نمونه آزمایشگاهی صورت گیرد. همچنین با استفاده از روش‌های لبه‌ای تفلون یا پرکننده‌های رزینی می‌توان صافی سطح نسبی برای لبه‌های برش شده چوب ایجاد نمود.

۶-۳- آزمایش مقاومت الکتریکی

نمونه آزمایش طبق استانداردهای IEC ۶۲۶۳۱-۳-۱ [۲۳] و ASTM D۲۵۷ [۲۴] با ضخامت ۱۶ میلی‌متر تحت عبور جریان الکتریکی در راستای ضخامت خود قرار می‌گیرد و میزان عبور جریان با استفاده از تکنیک چهار پروپ با دستگاه نانو آمپر متر سنجیده می‌شود. ولتاژ صفر تا ۴۰ ولت و دامنه جریان ۱۰ نانو آمپر تا ۱۰۰ میلی آمپر و دامنه اندازه گیری ۱ تا ۶ اهم در نظر گرفته شده است. بعلت اینکه رطوبت مخصوصاً در محدوده مقادیر کم، تأثیر زیادی در کاهش مقاومت الکتریکی چوب دارد، پیش از آزمایش نمونه نئوپان‌ها در کوره خشک شده و رطوبت آن به کمتر از ۲ درصد خواهد رسید. لازم به ذکر است فشرده سازی که در فرایند ساخت نمونه نئوپان استفاده می‌شود، خواص دی الکتریک نمونه‌ها را نسبت به چوب معمولی افزایش می‌دهد.

مقاومت الکتریکی در هر نمونه، در چهار نقطه اندازه گیری شد و میانگین این چهار نقطه بعنوان نتیجه نهایی در نظر گرفته شد. نتایج، تغییر محسوسی بین نمونه‌ها را نشان نداد. میزان میانگین مقاومت الکتریکی برای نمونه شاهد، نمونه گردو، و نمونه گردو/پسته، به ترتیب $8/9$ و $9/3$ و $9/4$ اهم بوده است که اختلاف قابل توجهی بین آنها دیده نمی‌شود.

۴- نتیجه گیری
در این تحقیق با توجه به لزوم توسعه و جایگزینی چوب‌های مرکب بازیافتی و شناخت ویژگی‌های آنها، به بررسی خواص فیزیکی چوب مرکب با ساختار نئوپانی از خرده چوب گردو و همچنین خرده چوب گردو/پسته و مقایسه آنها با نئوپان معمولی پرداخته شده است. نتایج این تحقیق به صورت زیر می‌باشد.
(۱) با آزمایش صورت گرفته نتیجه گرمای سوختن نمونه پوست سخت میوه گردو-پسته کمتر از نمونه پوست گردوبی و گرمای سوختن آنها کمتر از نمونه نئوپان معمولی بوده است.

(۲) زمان آتش‌گیری نمونه چوب حاصل از پوست سخت میوه گردو/پسته و همچنین چوب سخت میوه گردو نسبت به نئوپان معمولی به ترتیب $8/4$ ٪ و $69/8$ ٪ بیشتر بوده است.

۳- آزمایش صافی سطح پس از برش

سطح نمونه‌های آزمایش پس از برش بصورت بصری مورد بررسی صافی سطح قرار می‌گیرد. همانطور که در شکل ۸ نشان داده شده است، با برش



شکل ۸. لبه برش شده (الف) نئوپان ساده (ب) نئوپان چوب گردو (ج) نئوپان چوب گردو / پسته

Fig. 8. Cut edge (a) simple chipboard (b) walnut chipboard (c) walnut / pistachio chipboard

بطور کلی نئوپان‌ها و به تبع آن نمونه‌های ساخته شده، در واقع یک محیط متخلخل هستند و این تخلخل، آن‌ها را در برابر رطوبت و ضربه آسیب‌پذیر می‌سازد، لکن با توجه به اینکه این تحقیق عددی نبوده و ساختار کلی نئوپان را بطورت آزمایشگاهی مورد بررسی قرار داده است، بررسی اثر تخلخل در نتایج صرف نظر شده است. در پایان برای تحقیقات بعدی پیشنهاد می‌شود نمونه چوب سخت میوه گردو و پسته با قرار گرفتن در معرض بخار دما بالا نرم شود و سپس نمونه‌های آزمایش ساخته شود تا ساختار مقاومتری در برابر تنفس‌های برشی و خمی ایجاد گردد.

منابع

- [1] N. Banaiyan, Estimating the energy of walnut waste and its recycling strategies, National Conference on Agricultural Waste and Waste Management, Tehran, Iran, (2010) 14-27, (in Persian).
- [2] S.A. AhmadiNejad, A. Shokuh Saljughhi, L. Malekpurzadeh, A.S. NaserAsadi, Evaluation of the effect of powder and aqueous extract of green walnut

(۳) نتایج نشان داد مقاومت چوب گردو/پسته و همچنین چوب گردو نسبت به نئوپان معمولی در برابر جذب رطوبت بالاتر بوده و تغییرات ساختاری کمتری نسبت به نئوپان معمولی دارند.

(۴) نتایج نشان دهنده آن بود که نمونه گردو و نمونه گردو/پسته در برابر نیروی خمی مانند جسم ترد عمل کرده و شکننده هستند که ممکن است با پیش گرمایش با بخار و نرم ساختن ساختاری چوب گردو و پسته تا حدی این مشکل رفع گردد.

(۵) هدایت حرارتی نمونه گردو/پسته نسبت به نمونه گردو اندکی بیشتر است و هدایت حرارتی این دو نسبت به نئوپان معمولی کمی بالاتر است. لکن ساختار آنها به نحوی است که توسعه آتش در آنها با تأخیر بیشتری همراه است.

(۶) اختلاف مشهودی نسبت به مقاومت الکتریکی بین نمونه‌ها مشاهده نشد.

(۷) پس از برش عرضی نمونه و مشاهده بصری سطح برش، مشاهده شد محل برش در نمونه گردو/پسته و نمونه گردوبی با جدایش تکه‌ای ناصاف‌تر از نمونه نئوپان معمولی هستند.

- environment, energy and clean industry,, Tehran, Iran., (2014) 32-39, (in Persian).
- [10] E. Saremi, M. Amini, The place of horticultural products in rural development with emphasis on walnut product, , in: Sixth International Conference on New Ideas in Agriculture, Environment and Tourism, , Tehran, Iran, (2020) 51-60, (in Persian).
- [11] Third issue of national building regulations, protection of buildings against fire Book. Department of Housing and Urban Development, Deputy of Engineering System and Building Execution. Office of National Building Regulations, (2001) 12-13, (in Persian).
- [12] S. Ganjei, Investigation and evaluation of several systems in mass construction projects of residential buildings, Lightweight wooden frame house system. Building and Housing Research Center Book, (2010) 95-96, (in Persian).
- [13] R. Peirovi-Minaee, Different applications of pistachio skin, Pistachio and Health Journal, 4(3) (2021) 1-6, (in Persian).
- [14] M. Gholami, M. SalehAhmadi, M. A. Tavanaie, M. Khajeh, Mechanical Properties of Date Palm Fiber Reinforced Polymer Composites: A Review, Quarterly Journal of Besparesh, 7(1) (2017) 82-93, (in Persian).
- [15] M.S. Ahmadi, M. Gholami, M.A. Tavanaie, M. Khajeh Mehrizi, Tensile and flexural properties of epoxy-date palm fiber composites, Journal of Science and Technology of Composites, 5(1) (2018) 69-78, (in Persian).
- [16] S. Yousefzadeh, M. Kashfi, P. Kahhal, A. Ansari-asl, An Experimental Investigation on Tensile and Impact Properties of Bagasse/Polypropylene Natural Composite, Amirkabir Journal of Mechanical Engineering, 52(8) (2019) 2149-2160, (in Persian).
- [17] S. Yousefi Lonbar, A. Talaei, M.H. Rezvani, Investigation of physical and mechanical performance of wood-based composites after laboratory accelerated aging, Iranian Journal of Wood and Paper Industries, 9(1) (2018) 103-117, (in Persian).
- [18] F.Eslah, A. A. Enayati, M. Faezipur, M. Tajvidi, skin, pomegranate peel and henna leaves on germination and eradication of Salmak weed and Kharshotor invasive plant, 8th National Conference on Applied Research in Agricultural Sciences Healthy food from farm to Tablecloth Shahid Beheshti University, Tehran, Iran, (2020) 46-53, (in Persian).
- [3] J. Ardukhalian, Sh. Mozafari, R. Golmoradi, Preparation of zinc ferrite / activated carbon nanocomposite made from walnut skin and its use as an adsorbent in removing violet crystal dye, Fourth National Conference on Applied Chemistry, Orumieh, Iran, (2019) 64-72, (in Persian).
- [4] F. Asadi, A. Dargahi, A. Almasi, C. Ali Karami, A. Mohamadi, Efficiency of the processed walnut shell in removal of red reactive 2 dye from aqueous solutions, Journal of Environmental Science and Technology, 19(4) (2017) 237-245.
- [5] E. Vazad, K. Rasulpur, A. Pursattar, Preparation and use of polymer acrylic acid intertwined polymer network; Polyvinyl alcohol filled with walnut skin as an adsorbent to remove lead from water, Fourth National Conference on Applied Chemistry, Orumieh, Iran, (2019) 44-56, (in Persian).
- [6] J. Ardukhalian, Sh. Mozafari, R. Golmoradi, Preparation of zinc ferrite / activated carbon nanocomposite made from walnut skin and its use as an adsorbent in removing violet crystal dye, Fourth National Conference on Applied Chemistry, Orumieh, Iran, (2019) 82-96, (in Persian).
- [7] M.A. Zazouli, Study on Performance of Walnut Shells Adsorbent in Nitrate Removal from the Aqueous Solutions, Environmental Health, 5(2) (2019) 144-153, (in Persian).
- [8] E. Salehi, Production of granular activated carbon from walnut hard shell in full scale and comparing specifications with similar products, Farayandno, 12(57) (2017) 23-33, (in Persian).
- [9] M. OstadHosseini, A. Ghazanfari, M. Mozafari, Preparation of charcoal from wood and pistachio wood powder by thermal decomposition method,, The first national conference and specialized exhibition of

- [21] ASTM E-84-10, the standard test method for assessing the surface burning characteristics of building products to explore how the material might contribute to flame spread in the event of a fire, (2014) 1-2.
- [22] A. D4442-16:, Standard Test Methods for Direct Moisture Content Measurement of Wood and Wood-Based Materials, (2016) 6-12.
- [23] IEC 62631-3-1, Test methods for the measurement of volume resistivity and surface resistivity of insulating materials, (2016), 5-8.
- [24] ASTM D257, Surface and Volume Resistance / Resistivity Test Fixture Model 853, (2018) 2-3.

Evaluation of the effect of increasing the mass density of the board and the amount of adhesive on the properties of particle board, Iranian Journal of Wood and Paper Industries, 2(1) (2011) 103-113, (in Persian).

- [19] M. Najafi, R. Eslami-Farsani, Introducing novel sandwich panels based on of cork/polyurethane foam hybrid core and composite grid structure for marine applications, Journal of Science and Technology of Composites, 7(3) (2020) 1064-1075, (in Persian).
- [20] B. Koohbor, A. Kidane, Design optimization of continuously and discretely graded foam materials for efficient energy absorption, Materials & Design, 102 (2016) 151-161.

چگونه به این مقاله ارجاع دهیم

S. S. Hosseini, A. Shahrjerdi, Experimental Study of Thermal and Mechanical Properties of Wood Boards Processed with Hard Recycled Skin of Walnut and Pistachio, Amirkabir J. Mech Eng., 54(8) (2022) 1933-1944.

DOI: [10.22060/mej.2022.20716.7302](https://doi.org/10.22060/mej.2022.20716.7302)

